

[18]. بنابراین، معادلات حالت بی بعد به صورت رابطه (4) نوشته می شود:

$$\begin{cases} \hat{h}' = \hat{v} \\ \hat{v}' = \hat{a} \\ \hat{a}' = \hat{J} \\ \hat{J}' = -4\hat{a} - 4\hat{J} + 4\hat{u} \end{cases} \quad (4)$$

که $d(\cdot)/d\tau = (\cdot)'$ نمایانگر مشتق نسبت به زمان بی بعد τ است.

3- مسئله هدایت خطدید بهینه

در هدایت سه نقطه‌ای ممکن است معیار عملکرد بصورت رابطه (5) انتخاب شود [13]:

$$\mathcal{J} = \frac{1}{2} \int_0^{t_f} [bh^2 + u^2] dt \quad (5)$$

که در آن، u دستور شتاب (وروودی کنترلی) و $b > 0$ ضریب وزنی برای مجذور فاصله از خطدید است.

حال مسئله هدایت بهینه به صورت بی بعد تعریف می شود. وروودی کنترل \hat{u} به گونه‌ای استخراج شود کهتابع عملکرد (6) منوط به معادلات حالت (4) و شرایط اولیه ونهایی (7) به ازای زماننهایی معین τ_f (مقدار ثابت از پیش تعیین شده) کمینه شود.

$$\frac{\mathcal{J}}{TA^2} = \frac{1}{2} \int_0^{\tau_f} [\hat{b}\hat{h}^2 + \hat{u}^2] d\tau, \quad \hat{b} = bT^4 \quad (6)$$

$$\begin{cases} \hat{h}(0) = \hat{h}_0 \\ \hat{v}(0) = \hat{v}_0 \\ \hat{a}(0) = \hat{a}_0 \\ \hat{J}(0) = \hat{J}_0 \end{cases} \quad \begin{cases} \hat{h}(\tau_f) = 0 \\ \hat{v}(\tau_f) = \text{free} \\ \hat{a}(\tau_f) = \text{free} \\ \hat{J}(\tau_f) = \text{free} \end{cases} \quad (7)$$

که زیرنویس "0" نمایانگر مقدار اولیه است.تابع هامیلتونی مسئله به صورت رابطه (8) نوشته می شود:

$$\mathcal{H} = \frac{1}{2} \hat{b}\hat{h}^2 + \frac{1}{2} \hat{u}^2 + \lambda_h \hat{v} + \lambda_v \hat{a} + \lambda_a \hat{J} + \lambda_J (-4\hat{a} - 4\hat{J} + 4\hat{u}) \quad (8)$$

که در آن، ضرایب لاغرانژ با $\lambda_h, \lambda_v, \lambda_a$ و λ_J نمایش داده شده است. با استفاده از روابط کنترل بهینه می توان نوشت:

$$\begin{cases} \frac{\partial \mathcal{H}}{\partial \hat{u}} = 0 \rightarrow \hat{u} = -4\lambda_J \\ \frac{d(\vec{\lambda})}{d\tau} = -\frac{\partial \mathcal{H}}{\partial \vec{X}} \rightarrow \begin{cases} \lambda'_h = -\hat{b}\hat{h} \\ \lambda'_v = -\lambda_h \\ \lambda'_a = -\lambda_v + 4\lambda_J \\ \lambda'_J = -\lambda_a + 4\lambda_J \end{cases} \end{cases} \quad (9)$$

که در آن، $\vec{\lambda} = [\lambda_h \ \lambda_v \ \lambda_a \ \lambda_J]^T$ و $\vec{X} = [\hat{h} \ \hat{v} \ \hat{a} \ \hat{J}]^T$. با ترکیب معادلات مرتبه یک می توان نوشت:

$$\frac{d}{d\tau} \begin{bmatrix} \vec{X} \\ \vec{\lambda} \end{bmatrix} = A_p \begin{bmatrix} \vec{X} \\ \vec{\lambda} \end{bmatrix} \quad (10)$$

که در آن،

$$A_p = \begin{bmatrix} 0 & 1 & 0 & 0 & 0 & 0 & 0 & 0 \\ 0 & 0 & 1 & 0 & 0 & 0 & 0 & 0 \\ 0 & 0 & 0 & 1 & 0 & 0 & 0 & 0 \\ 0 & 0 & -4 & -4 & 0 & 0 & 0 & -16 \\ -\hat{b} & 0 & 0 & 0 & 0 & 0 & 0 & 0 \\ 0 & 0 & 0 & 0 & -1 & 0 & 0 & 0 \\ 0 & 0 & 0 & 0 & 0 & -1 & 0 & 4 \\ 0 & 0 & 0 & 0 & 0 & 0 & -1 & 4 \end{bmatrix} \quad (11)$$

حل سیستم خطی (10) بین زمان حال و زماننهایی (بی بعد)، به صورت زیر نوشته می شود:

نقشه‌ای بسیار غامض تر است. قانون هدایت دونقطه‌ای بهینه حلقه‌بسته برای سیستم‌های کنترلی مرتبه اول، دوم و مرتبه‌های بالا استخراج شده است

[17]. اما به علت اضافه شدن قید مذکور و پیچیدگی حل مسئله، قانون هدایت بهینه حلقه‌بسته سه نقطه‌ای تنها برای سیستم کنترل ایده‌آل (مرتبه صفر) [13] و مرتبه یک [18] در منابع موجود است.علاوه، حل‌های مذکور برای اهداف ثابت و بصورت تک بعدی استخراج شده است. در مرجع [18] به منظور تحلیل عملکرد قانون هدایت، سه فرم بی بعدسازی ارائه شده و نتایج آن با سیستم کنترل ایده‌آل مقایسه شده است. در مرجع [14] نیز قانون هدایت سه نقطه‌ای بهینه برای سیستم کنترل ایده‌آل استخراج شده است؛ البته با این تفاوت که در معیار عملکرد «مجذور مؤلفه سرعت عمود بر خطدید» به منظور مقاومت بیشتر وسیله پروازی در مقابل اغتشاش باد اضافه شده، اما در عوض بهره‌های هدایت بصورت پایا¹ استخراج شده است. حل مرجع مذکور نیز برای حالت تک بعدی و هدف ثابت است.

در این مقاله، با استفاده از تئوری کنترل بهینه، حل صریح و حلقه‌بسته هدایت خطدید برای سیستم کنترل مرتبه دوم به ازای هدف ثابت و در حالت تک بعدی استخراج شده و نتایج آن با هدایت بهینه برای سیستم کنترل مرتبه صفر (ایده‌آل) و مرتبه اول مقایسه شده است.

2- معادلات حرکت

معادله حرکت حاکم بر وسیله پروازی با فرض مدل جرم نقطه‌ای در حالت تک بعدی بصورت $a = \ddot{h}$ است که h فاصله وسیله پروازی از خطدید و شتاب وسیله پروازی در جهت عمود بر خطدید است. شکل 1 هندسه تک بعدی مسئله هدایت خطدید را نشان می دهد که در آن وسیله پروازی با P و هدف با T نمایش داده شده است.

برای استخراج قانون هدایت بهینه، سیستم کنترل وسیله پروازی بصورت مرتبه دوم فرض شده است. به عبارت دیگر، کل دینامیک وسیله پروازی از وروودی دستور شتاب (u) تا خروجی شتاب مانوری با یک تابع تبدیل مرتبه دوم به اصطلاح دو جمله‌ای² مدل شده است [2]:

$$\frac{a}{u}(s) = \frac{1}{\left(1 + \frac{T}{2}s\right)^2} \quad (1)$$

که در آن، T ثابت زمانی معادل سیستم کنترل و s متغیر حوزه لاپلاس است. معادلات حالت مسئله به صورت رابطه (2) نوشته می شود:

$$\begin{cases} \dot{h} = v \\ \dot{v} = a \\ \dot{a} = J \\ \dot{J} = -\frac{4}{T^2}a - \frac{4}{T}J + \frac{4}{T^2}u \end{cases} \quad (2)$$

که در آن، v مؤلفه سرعت وسیله پروازی در جهت عمود بر خطدید (در راستای محور h) و J نرخ شتاب وسیله پروازی است.

در ادامه، معادلات حالت بی بعد با استفاده از تغییر متغیرهای رابطه (3) استخراج می شود:

$$\begin{aligned} \tau &= \frac{t}{T}, \quad \tau_f = \frac{t_f}{T}, \quad \tau_{go} = \frac{t_{go}}{T}, \quad \hat{u} = \frac{u}{A} \\ \hat{h} &= \frac{h}{AT^2}, \quad \hat{v} = \frac{v}{AT}, \quad \hat{a} = \frac{a}{A}, \quad \hat{J} = \frac{JT}{A} \end{aligned} \quad (3)$$

که در آن، t_f زماننهایی، $t - t_f$ زمان باقیمانده تا زماننهایی (تا رسیدن به هدف) و A پارامتر بی بعدسازی با دیمانسیون مشابه شتاب است

1- Steady State

2- Binomial

$$\begin{aligned} f_{n_1}(\tau_{go}) &= -\phi_{65}(\phi_{76}\phi_{87} - \phi_{86}\phi_{77}) \\ &+ \phi_{75}(\phi_{66}\phi_{87} - \phi_{86}\phi_{67}) - \phi_{85}(\phi_{66}\phi_{77} - \phi_{76}\phi_{67}) \end{aligned} \quad (21)$$

$$\begin{aligned} f_{n_2}(\tau_{go}) &= \phi_{15}(\phi_{76}\phi_{87} - \phi_{86}\phi_{77}) \\ &- \phi_{75}(\phi_{16}\phi_{87} - \phi_{86}\phi_{17}) + \phi_{85}(\phi_{16}\phi_{77} - \phi_{76}\phi_{17}) \end{aligned} \quad (22)$$

$$\begin{aligned} f_{n_3}(\tau_{go}) &= -\phi_{15}(\phi_{66}\phi_{87} - \phi_{86}\phi_{67}) \\ &+ \phi_{65}(\phi_{16}\phi_{87} - \phi_{86}\phi_{17}) - \phi_{85}(\phi_{16}\phi_{67} - \phi_{66}\phi_{17}) \end{aligned} \quad (23)$$

$$\begin{aligned} f_{n_4}(\tau_{go}) &= \phi_{15}(\phi_{66}\phi_{77} - \phi_{76}\phi_{67}) \\ &- \phi_{65}(\phi_{16}\phi_{77} - \phi_{76}\phi_{17}) + \phi_{75}(\phi_{16}\phi_{67} - \phi_{66}\phi_{17}) \end{aligned} \quad (24)$$

$$|P_2(\tau_{go})| = \phi_{18} f_{n_1} + \phi_{68} f_{n_2} + \phi_{78} f_{n_3} + \phi_{88} f_{n_4} \quad (25)$$

لازم به ذکر است که ϕ_{ij} در روابط (19) و (21) تا (25) تابعی از τ_{go} و \hat{b} است که برای خلاصه‌نویسی نمایش داده نشده است. در نتیجه با استفاده از روابط (9) و (18)، دستور شتاب بهینه حلقه‌بسته به صورت رابطه (26) حاصل می‌شود:

$$u(t) = A\hat{u}(\tau) = -C_h h - C_v v - C_a a - C_J J \quad (26)$$

که در آن،

$$C_h = \frac{\hat{C}_h}{T^2}, \quad C_v = \frac{\hat{C}_v}{T}, \quad C_a = \hat{C}_a, \quad C_J = T \hat{C}_J \quad (27)$$

$$\hat{C}_h = 4\hat{C}_1, \quad \hat{C}_v = 4\hat{C}_2, \quad \hat{C}_a = 4\hat{C}_3, \quad \hat{C}_J = 4\hat{C}_4 \quad (28)$$

دستور شتاب بهینه حلقه‌باز نیز به صورت مشابه محاسبه می‌شود:

$$\hat{u}(\tau) = [-N_1(\tau) + N_2(\tau) P_2^{-1}(\tau_f) P_1(\tau_f)] \vec{X}(0) \quad (29)$$

که در آن،

$$\begin{cases} N_1(\tau) = [\phi_{81}(\tau) \phi_{82}(\tau) \phi_{83}(\tau) \phi_{84}(\tau)] \\ N_2(\tau) = [\phi_{85}(\tau) \phi_{86}(\tau) \phi_{87}(\tau) \phi_{88}(\tau)] \end{cases} \quad (30)$$

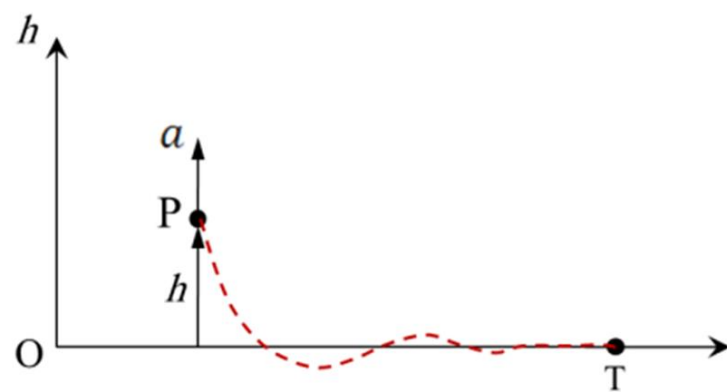
با ظهور ریزپردازندگان سریع، افزایش بار محاسباتی ضرایب هدایت، آنقدر نیست که قابل پیاده‌سازی نباشد. بعلاوه، می‌توان روابطی برای ضرایب بهره هدایت با برازش منحنی بدست آورد و یا از مقادیر ذخیره شده در کامپیوتر استفاده نمود. رفتار ضرایب بی‌بعد قانون هدایت خط دید بهینه مرتبه دوم بر حسب زمان بی‌بعد به ازای ضرایب وزنی مختلف در شکل 2 ترسیم شده است. همانطور که در این نمودارها مشاهده می‌شود، با افزایش ضریب وزنی، ضرایب بهره سریع‌تر به مقدار پایای خود می‌رسد. البته توصیه می‌شود که در رابطه دستور شتاب از ضریب C_h فاکتور گرفته شود.

4- بحث و نتایج شبیه‌سازی

در این بخش، عملکرد قانون هدایت خط دید بهینه مرتبه دوم با دو قانون هدایت خط دید بهینه مرتبه صفر (ایده‌آل) و اول مقایسه می‌شود. به منظور بررسی عملکرد و مقایسه منصفانه این سه قانون، سیستم کنترل در کد شبیه‌سازی بصورت مرتبه سوم، چهارم و ششم ($n = 3, 4, 6$) مدل می‌شود.

$$a_u(s) = \frac{1}{(1 + \frac{T}{n}s)^n} \quad (31)$$

از سه پارامتر بی‌بعد کننده $A = v_0/T$ ، $A = h_0/T^2$ و $A = a_{sat}$ برای تحلیل عملکرد می‌توان استفاده نمود که a_{sat} شتاب اشباع وسیله پروازی است. لازم به ذکر است که اعمال هر یک از این پارامترها برای یک دسته مشخص از سناریوها مناسب است. در دسته اول از سناریوها، $A = h_0/T^2$ به عنوان پارامتر بی‌بعد کننده انتخاب می‌شود و می‌توان دستور شتاب و مقادیر عملکردی را برای تمام مقادیر اولیه فاصله از خط دید و ثابت زمانی سیستم به ازای مقادیر ثابت $v_0 T/h_0$ در یک نمودار ترسیم نمود. البته برای حالتی که



شکل ۱ هندسه تک‌بعدی مسئله هدایت خط دید

$$\begin{bmatrix} \vec{X}(\tau_f) \\ \vec{\lambda}(\tau_f) \end{bmatrix}_{8 \times 1} = \Phi(\tau_{go}) \begin{bmatrix} \vec{X}(\tau) \\ \vec{\lambda}(\tau) \end{bmatrix}_{8 \times 1} \quad (12)$$

که در آن، $\Phi(\tau)$ ماتریس انتقال حالت برای ماتریس سیستم A_p است. بنابراین،

$$\Phi(\tau) = \mathcal{L}^{-1}\{(sl - A_p)^{-1}\}_{\tau} \quad (13)$$

که در آن، A ماتریس همانی با ابعاد 8×8 است. محاسبه ماتریس انتقال حالت در پیوست الف آمده است. با توجه به معین بودن مقدار نهایی h و آزاد بودن سایر مقادیر نهایی متغیرهای حالت، شرایط اولیه و نهایی مورد نیاز برای حل مسئله به صورت رابطه (14) نوشته می‌شود:

$$\begin{cases} \hat{h}(0) = \hat{h}_0 \\ \hat{v}(0) = \hat{v}_0 \\ \hat{a}(0) = \hat{a}_0 \\ \hat{j}(0) = \hat{j}_0 \end{cases} \quad \begin{cases} \hat{h}(\tau_f) = 0 \\ \lambda_v(\tau_f) = 0 \\ \lambda_a(\tau_f) = 0 \\ \lambda_j(\tau_f) = 0 \end{cases} \quad (14)$$

با قرار دادن مقادیر نهایی (14) برای سطر اول و سه سطر آخر معادله ماتریسی (12) می‌توان نوشت:

$$P_1(\tau_{go}) \vec{X}(\tau) + P_2(\tau_{go}) \vec{\lambda}(\tau) = \vec{0} \quad (15)$$

که در آن،

$$P_1(\tau_{go}) = \begin{bmatrix} \phi_{11}(\tau_{go}) & \phi_{12}(\tau_{go}) & \phi_{13}(\tau_{go}) & \phi_{14}(\tau_{go}) \\ \phi_{61}(\tau_{go}) & \phi_{62}(\tau_{go}) & \phi_{63}(\tau_{go}) & \phi_{64}(\tau_{go}) \\ \phi_{71}(\tau_{go}) & \phi_{72}(\tau_{go}) & \phi_{73}(\tau_{go}) & \phi_{74}(\tau_{go}) \\ \phi_{81}(\tau_{go}) & \phi_{82}(\tau_{go}) & \phi_{83}(\tau_{go}) & \phi_{84}(\tau_{go}) \end{bmatrix} \quad (16)$$

$$P_2(\tau_{go}) = \begin{bmatrix} \phi_{15}(\tau_{go}) & \phi_{16}(\tau_{go}) & \phi_{17}(\tau_{go}) & \phi_{18}(\tau_{go}) \\ \phi_{65}(\tau_{go}) & \phi_{66}(\tau_{go}) & \phi_{67}(\tau_{go}) & \phi_{68}(\tau_{go}) \\ \phi_{75}(\tau_{go}) & \phi_{76}(\tau_{go}) & \phi_{77}(\tau_{go}) & \phi_{78}(\tau_{go}) \\ \phi_{85}(\tau_{go}) & \phi_{86}(\tau_{go}) & \phi_{87}(\tau_{go}) & \phi_{88}(\tau_{go}) \end{bmatrix} \quad (17)$$

لازم به ذکر است که عناصر ماتریس P_1 و P_2 از عناصر ماتریس انتقال حالت (13) ساخته شده است. اگر P_2 معکوس پذیر باشد، $(\vec{\lambda}(\tau))$ را به راحتی می‌توان از رابطه (15) محاسبه نمود. البته با توجه به رابطه (9)، برای محاسبه دستور شتاب تنها مؤلفه چهارم $(\vec{\lambda}(\tau))$ نیاز است. بنابراین،

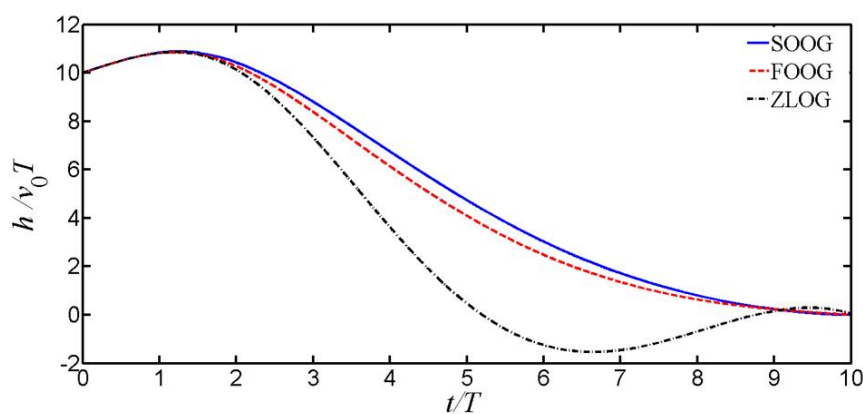
$$\lambda_j(\tau) = \hat{C}_1(\tau_{go})\hat{h} + \hat{C}_2(\tau_{go})\hat{v} + \hat{C}_3(\tau_{go})\hat{a} + \hat{C}_4(\tau_{go})\hat{j} \quad (18)$$

که در آن،

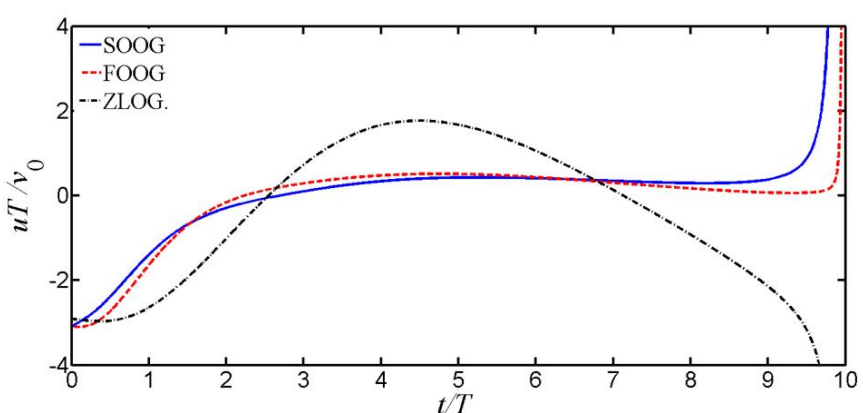
$$\begin{cases} \hat{C}_1(\tau_{go}) = -f_1\phi_{11} - f_2\phi_{61} - f_3\phi_{71} - f_4\phi_{81} \\ \hat{C}_2(\tau_{go}) = -f_1\phi_{12} - f_2\phi_{62} - f_3\phi_{72} - f_4\phi_{82} \\ \hat{C}_3(\tau_{go}) = -f_1\phi_{13} - f_2\phi_{63} - f_3\phi_{73} - f_4\phi_{83} \\ \hat{C}_4(\tau_{go}) = -f_1\phi_{14} - f_2\phi_{64} - f_3\phi_{74} - f_4\phi_{84} \end{cases} \quad (19)$$

همچنین،

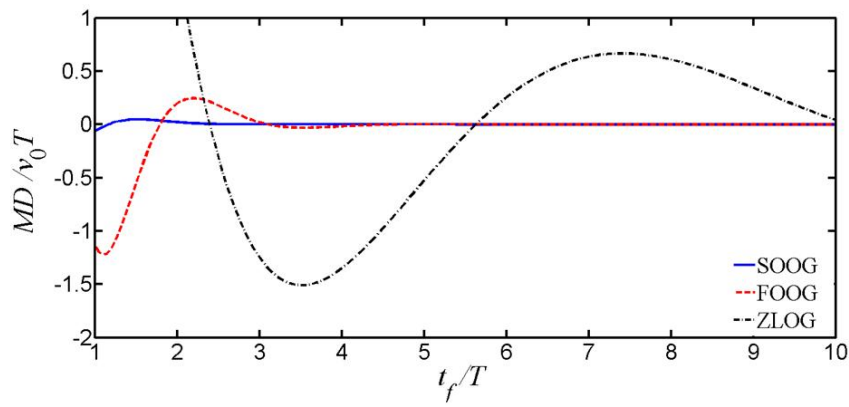
$$f_1(\tau_{go}) = \frac{f_{n_1}}{|P_2|}, \quad f_2(\tau_{go}) = \frac{f_{n_2}}{|P_2|}, \quad f_3(\tau_{go}) = \frac{f_{n_3}}{|P_2|}, \quad f_4(\tau_{go}) = \frac{f_{n_4}}{|P_2|} \quad (20)$$



شکل ۳ فاصله عمودی بی بعد از خطدید برحسب زمان بی بعد برای سه قانون هدایت ($h_0/v_0 T = 10, bT^4 = 0.05, n = 3$)

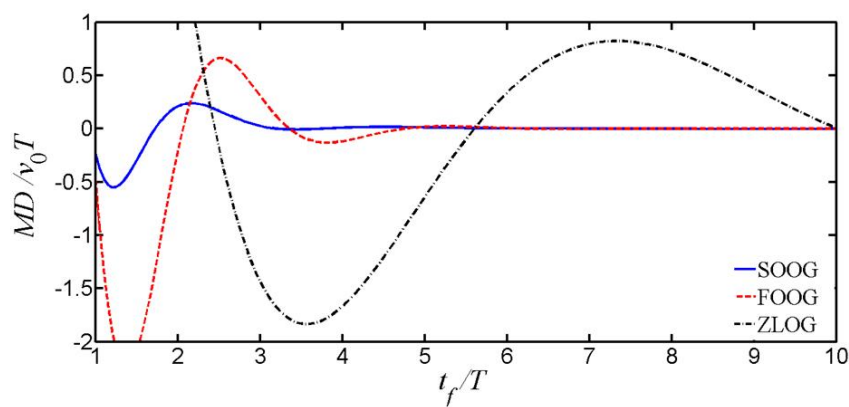


شکل ۴ دستور شتاب بی بعد برحسب زمان بی بعد برای سه قانون هدایت ($v_0 T = 10, bT^4 = 0.05, n = 3$)



شکل ۵ فاصله خطای نهایی بی بعد برحسب زمان نهایی بی بعد برای سه قانون هدایت ($h_0/v_0 T = 10, bT^4 = 0.05, n = 3$)

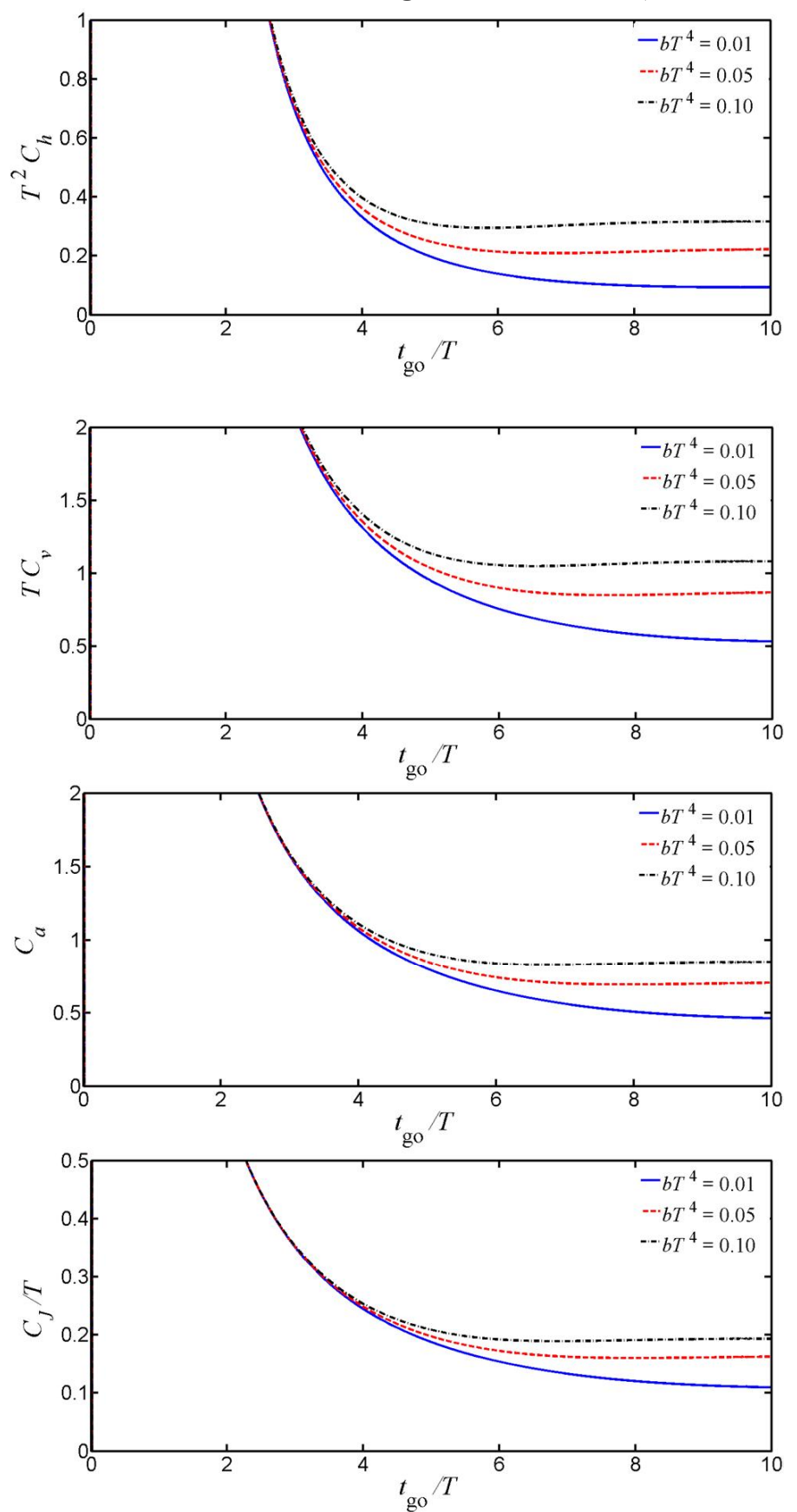
شکل ۵ فاصله خطای نهایی بی بعد برحسب زمان نهایی بی بعد برای سه قانون هدایت بهینه به ازای بر سیستم کنترل مرتبه سوم ($h_0/v_0 T = 10, bT^4 = 0.05$)



شکل ۶ فاصله خطای نهایی بی بعد به ازای سیستم کنترل مرتبه چهارم ($h_0/v_0 T = 10, bT^4 = 0.05$)

شکل ۶ فاصله خطای نهایی بی بعد به ازای سیستم کنترل مرتبه چهارم ($h_0/v_0 T = 10, bT^4 = 0.05$)

است، عملا نتایج بی بعد مذکور برای همه حالات جوابگوست. در دسته دوم از سناریوها، $A = v_0/T$ به عنوان پارامتر بی بعد کننده انتخاب می شود. بنابراین در این دسته، دستور شتاب و باقی مقادیر برای تمام مقادیر اولیه سرعت عمودی نسبت به خطدید و ثابت زمانی سیستم به ازای مقادیر ثابت $h_0/v_0 T$ در یک نمودار قابل ترسیم است. برای حالتی که $h_0 = 0$ است، نتایج بی بعد مذکور برای همه حالات جوابگوست. در نهایت در دسته سوم از سناریوها و با انتخاب $A = a_{sat}$ ، می توان دستور شتاب و دیگر پارامترها را برای کلیه مقادیر شتاب اشباع و ثابت زمانی سیستم به ازای مقادیر ثابت پارامتر بی بعد کننده استفاده شده و نمودارهای سه دسته مذکور برای حالات مختلف ترسیم شده و مزایای آن تشریح شده است.



شکل ۲ رفتار ضرایب بی بعد قانون هدایت بهینه مرتبه دوم به ازای مقادیر مختلف ضریب وزنی بی بعد

قانون هدایت مرتبه صفر (ZLOG)، دیگر توانایی قراردادن وسیله پروازی بر روی خطدید (و صفر کردن فاصله خطا) حتی در زمان‌های نهایی بزرگ را ندارد. به عنوان مثال در زمان نهایی بی بعد برابر 4، مقدار خطای نهایی قانون هدایت ZLOG برابر با 4، برای قانون هدایت FOOG برابر با 1.6 و برای قانون هدایت SOOG برابر با 0.3 است. همانطور که پیشتر اشاره شد، بطور معمول با تنظیم ضریب وزنی می‌توان سرعت قرارگیری وسیله پروازی بر روی خطدید را تنظیم نمود ولی این افزایش، علاوه بر افزایش تلاش کنترلی، سبب افزایش خطای نهایی در اعمال قوانین هدایت ذکر شده بر سیستم‌هایی با مرتبه بالاتر می‌شود. برای بررسی دقیق‌تر اثر ضریب وزنی، خطای فاصله نهایی بر حسب ضریب وزنی بی بعد به ازای $t_f/T = 5$ در شکل 9 ترسیم شده‌است. با توجه به شکل 8، مقایسه در زمان نهایی بی بعد 5 که نشان‌دهنده یک مقدار اختلاف کمتر از میانگین در فاصله خطا بین دو قانون هدایت بهینه مرتبه اول و مرتبه دوم بوده و مقایسه‌ای منصفانه خواهد بود. با

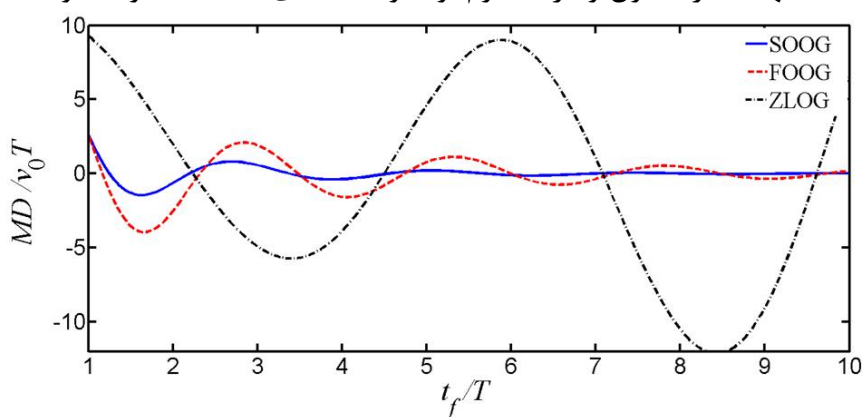


Fig. 8 Normalized miss distance vs normalized final time for the three guidance laws ($h_0/v_0T = 10, bT^4 = 0.8, n = 6$)

شکل 8 خطای نهایی بی بعد بر حسب زمان نهایی بی بعد برای سه قانون هدایت ($h_0/v_0T = 10, bT^4 = 0.8, n = 6$)

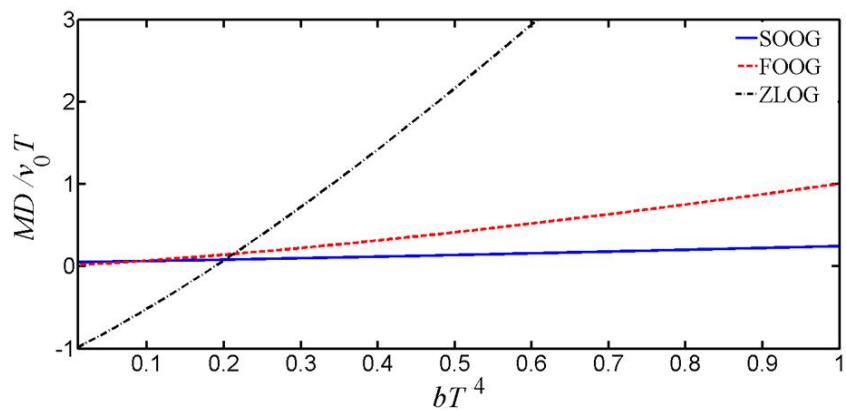


Fig. 9 Normalized miss distance vs normalized weighting factor for the three guidance laws ($h_0/v_0T = 10, t_f/T = 5, n = 6$)

شکل 9 خطای نهایی بی بعد بر حسب ضریب وزنی بی بعد برای سه قانون هدایت ($h_0/v_0T = 10, t_f/T = 5, n = 6$)

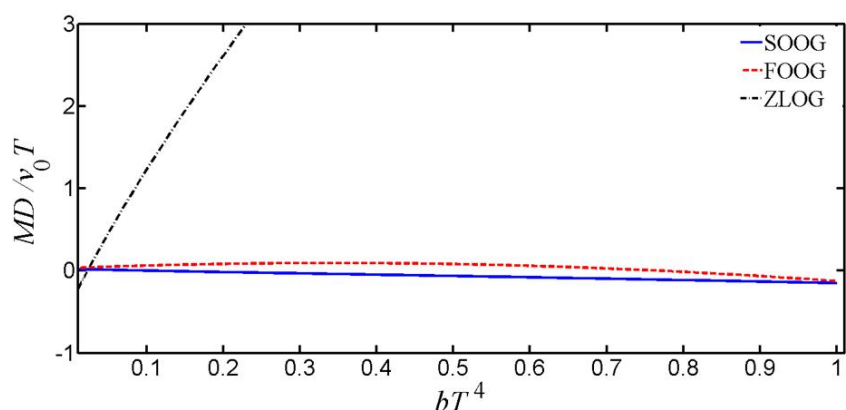


Fig. 10 Normalized miss distance vs normalized weighting factor for the three guidance laws ($h_0/v_0T = 10, t_f/T = 5, n = 6$)

شکل 10 خطای نهایی بی بعد بر حسب ضریب وزنی بی بعد برای سه قانون هدایت ($h_0/v_0T = 10, t_f/T = 5, n = 6$)

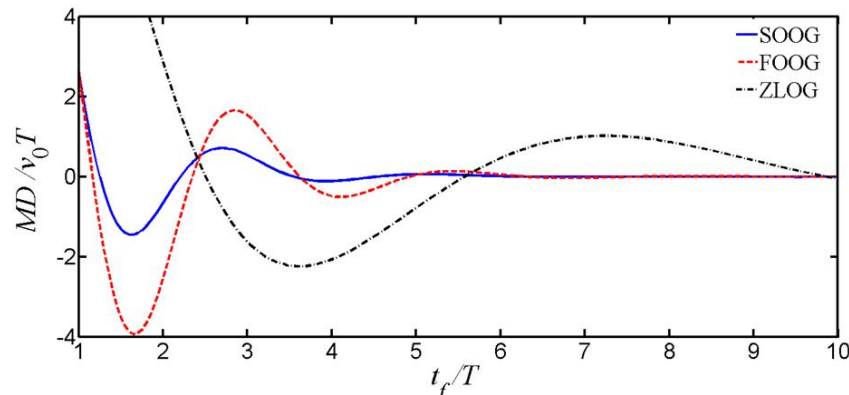
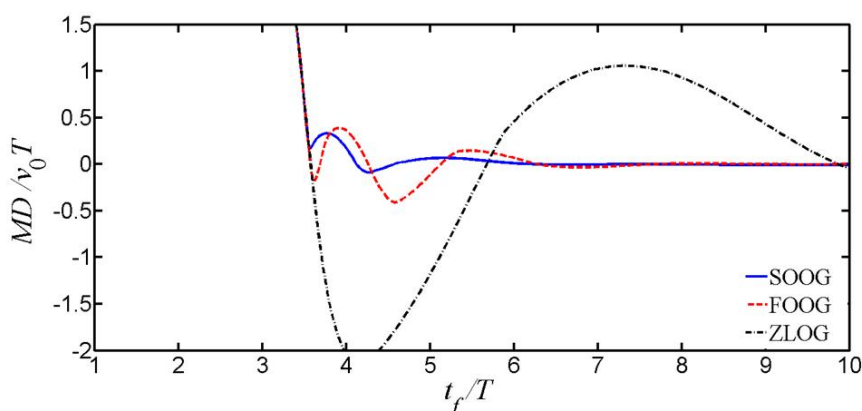


Fig. 7 Normalized miss distance vs normalized final time for the sixth-order control system ($h_0/v_0T = 10, bT^4 = 0.05$)

شکل 7 فاصله خطای نهایی بی بعد به ازای سیستم کنترل مرتبه ششم ($h_0/v_0T = 10, bT^4 = 0.05$)

در شکل‌های 3 و 4 فاصله عمودی بی بعد از خطدید و دستور شتاب بی بعد بر حسب زمان بی بعد، ترسیم شده که از $A = v_0/T$ به عنوان پارامتر، بی بعد کننده استفاده شده است (دسته دوم سناریوها). در این دو شکل، عملکرد سه قانون، هدایت بهینه استخراج شده برای سیستم کنترل مرتبه دوم (SOOG)، هدایت بهینه برای سیستم کنترل مرتبه اول (FOOG) و هدایت بهینه برای سیستم کنترل ایده‌آل (ZLOG) با اعمال سیستم کنترلی مرتبه سوم ($n = 3$) در کد شبیه‌سازی، مقایسه شده است. با توجه به این دو شکل، رفتار و عملکرد دو قانون «هدایت بهینه برای سیستم مرتبه اول» و «هدایت بهینه برای سیستم مرتبه دوم» تشابه زیادی دارد. البته قانون هدایت بهینه برای سیستم کنترل ایده‌آل درخواست دستور شتاب بیشتری نسبت به دو قانون دیگر دارد. تحلیل کاملی برای سیستم کنترل مرتبه اول در مرجع [18] موجود است. لذا در ادامه، تنها بر تحلیل بی بعد فاصله خطای نهایی تمرکز می‌شود. این مقایسه در شکل‌های 5 الی 7 به ازای سیستم‌های کنترلی با مرتبه 3، 4 و 6 و بدون در نظر گرفتن شتاب اشباع صورت گرفته است ($\hat{h}_0 = 10, \hat{b} = 0.05$). همچنین، لازم به ذکر است که مقدار شتاب و نرخ شتاب اولیه برای کلیه نمودارها، صفر در نظر گرفته شده است. همانطور که از این نمودارها مشاهده می‌شود، قانون هدایت بهینه برای سیستم کنترل مرتبه دوم (SOOG) مجموعاً خطای نهایی کمتری نسبت به دو قانون هدایت دیگر دارد. علاوه بر آن، خطای نهایی قانون هدایت بهینه برای سیستم ایده‌آل نسبت به دو قانون دیگر در مجموع بیشتر بوده و عملکرد نسبتاً ضعیفی را در رساندن وسیله پروازی به خطدید در سیستم‌های با مرتبه‌ی بالا نشان می‌دهد. همچنین با مقایسه این سه شکل می‌توان اثر افزایش مرتبه سیستم کنترلی را بر عملکرد قانون هدایت مشاهده نمود. با افزایش مرتبه سیستم کنترل از 3 به 6، خطای نهایی در زمان‌های نهایی کوچک بیشتر شده و قوانین هدایت، توانایی رسیدن به خطدید را در زمان نهایی کوچک نخواهند داشت. برای افزایش دقت، نیاز به افزایش ضریب وزنی است که آن هم محدودیت‌هایی دارد و حتی ممکن است سبب افزایش خطای ناپایداری شود. با توجه به این که قانون هدایت خطدید بهینه مرتبه اول در مرجع [18] با هدایت خطدید ساده (با برهه‌ی ثابت) که از حل بهینه پایا نتیجه شده، مقایسه شده است؛ لذا نتایج مذکور در مقاله‌ی حاضر دیگر تکرار نشده است.

در ادامه، مقایسه سه قانون هدایت و بررسی عملکرد آن‌ها با اعمال سیستم کنترلی مرتبه 6 ($n = 6$) در کد شبیه‌سازی انجام خواهد شد. در شکل 8 ضریب وزنی بی بعد به مقدار $bT^4 = 0.8$ افزایش می‌یابد. این افزایش سبب می‌شود که خطای نهایی قوانین هدایت بهینه افزایش یابد تا حدی که

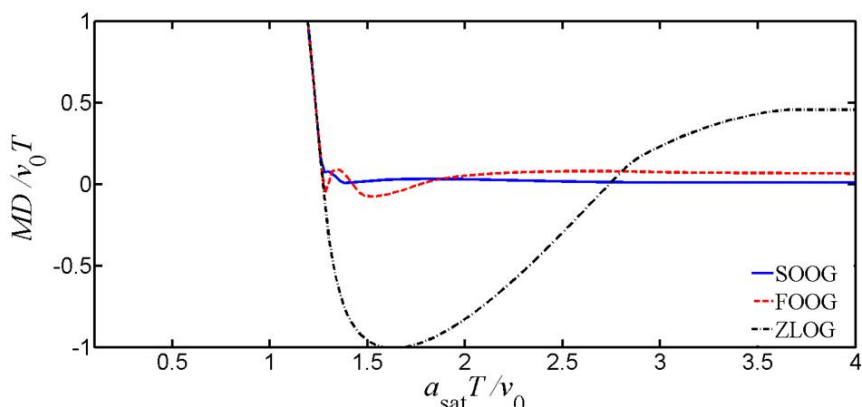


شکل ۱۳ خطای نهایی بی بعد بر حسب زمان نهایی بی بعد برای سه قانون هدایت ($h_0/v_0T = 10, a_{sat}T/v_0 = 4, bT^4 = 0.05, n = 6$)

شکل ۱۳ خطای نهایی بی بعد بر حسب زمان نهایی بی بعد برای سه قانون هدایت ($h_0/v_0T = 10, a_{sat}T/v_0 = 4, bT^4 = 0.05, n = 6$)

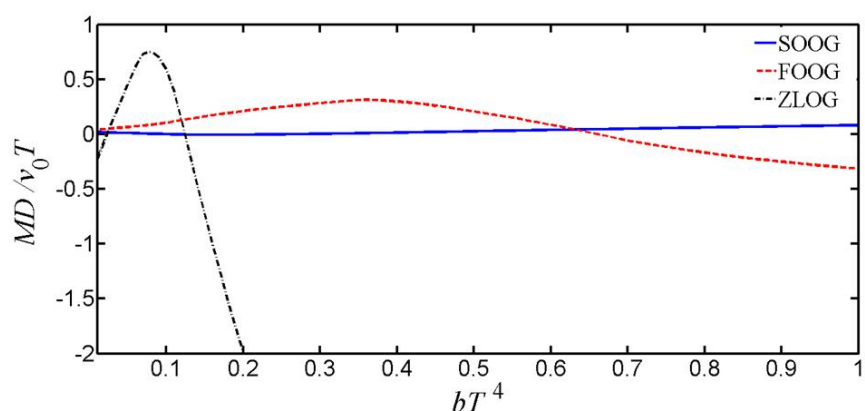
در شکل ۱۲ از پارامتر بی بعد کننده $A = a_{sat}$ برای دسته سوم از سناریوها استفاده شده است. در این شکل، در حالتی که زمان بی بعد کمتر از حدود ۴ باشد، به علت اشباع شتاب، مقادیر خطای نهایی سه قانون هدایت، مشابه یکدیگر می شود. اگر زمان نهایی بیشتر از زمان ذکر شده (یا شتاب اشباع بزرگ تر) باشد، عملکرد سه قانون هدایت متفاوت شده و مقدار خطای فاصله نهایی قانون هدایت بهینه مرتبه دوم در مجموع از دو قانون هدایت دیگر کمتر می شود. بطور نمونه، به ازای زمان نهایی بی بعد ۵، مقدار خطای نهایی بی بعد در قانون هدایت مرتبه صفر برابر با ۰.۳۸، برای قانون هدایت مرتبه اول برابر با ۰.۰۴ و برای قانون هدایت مرتبه دوم برابر با ۰.۰۲ است. در صورتی که این مقایسه با مقادیر بعددار انجام شود، به ازای ثابت زمانی ۰.۴ و شتاب اشباع ۱۰g، مقدار زمان نهایی برابر با ۲.۵ ثانیه و مقدار خطای نهایی برای سه قانون به ترتیب برابر با ۱۵.۲، ۱.۶ و ۰.۸ متر است. با تغییر مقادیر اولیه و استفاده از پارامتر بی بعد کننده $A = v_0/T = 10$ در شکل ۱۳ نتایج مشابهی حاصل می شود.

در شکل ۱۴، مقایسه مقادیر خطای نهایی سه قانون هدایت بهینه با تغییر مقدار شتاب اشباع به ازای زمان نهایی بی بعد ۶ و ضریب وزنی بی بعد ۰.۰۵ ترسیم شده است. با توجه به این شکل می توان مشاهده نمود که خطای نهایی هدایت بهینه مرتبه دوم نسبت به مرتبه اول بهبود یافته است. مقدار این بهبود بستگی به مقادیر پارامترهای بابعد دارد. علاوه همانطور که از شکل ۱۴ مشاهده می شود، به ازای شرایط مفروض، خطای هدایت بهینه مرتبه اول نسبت به میزان شتاب اشباع، به یک حالت شبه ماندگار می رسد.



شکل ۱۴ خطای نهایی بی بعد بر حسب شتاب اشباع بی بعد برای سه قانون هدایت ($h_0/v_0T = 10, bT^4 = 0.05, t_f/T = 6, n = 6$)

شکل ۱۴ خطای نهایی بی بعد بر حسب شتاب اشباع بی بعد برای سه قانون هدایت ($h_0/v_0T = 10, bT^4 = 0.05, t_f/T = 6, n = 6$)

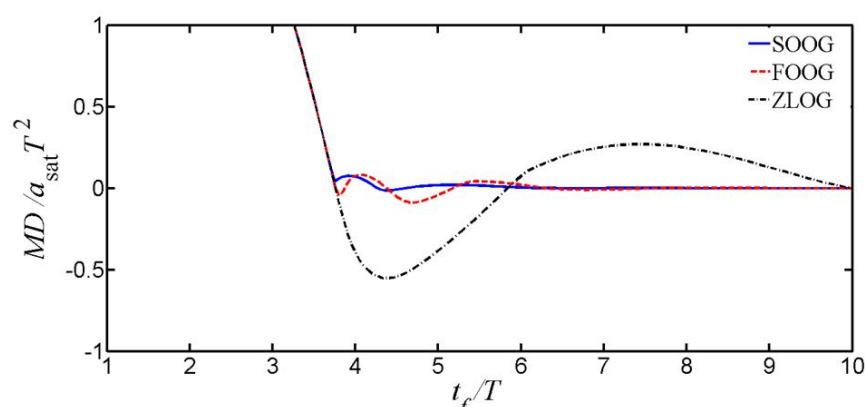


شکل ۱۱ خطای نهایی بی بعد بر حسب ضریب وزنی بی بعد برای سه قانون هدایت ($h_0/v_0T = 10, a_{sat}T/v_0 = 4, t_f/T = 6, n = 6$)

شکل ۱۱ خطای نهایی بی بعد بر حسب ضریب وزنی بی بعد برای سه قانون هدایت ($h_0/v_0T = 10, a_{sat}T/v_0 = 4, t_f/T = 6, n = 6$)

توجه به شکل ۹، افزایش ضریب وزنی می تواند باعث عدم جواب گویی قانون هدایت بهینه مرتبه صفر و مرتبه اول شود. البته لازم به ذکر است خطای قانون هدایت بهینه مرتبه دوم نیز با افزایش ضریب وزنی افزایش می یابد، اما نسبت به قانون هدایت بهینه مرتبه اول دارای خطای نسبتاً کمتری است و مقاومت بیشتری نسبت به افزایش ضریب وزنی دارد. بنابراین در افزایش و انتخاب ضریب وزنی محدودیت وجود دارد و نمی توان به دلخواه آن را افزایش داد. در شکل ۱۰، خطای فاصله نهایی بر حسب ضریب وزنی بی بعد به ازای $t_f/T = 6$ رسم شده است. با توجه به شکل ۸، تفاوت فاصله خطای بین دو قانون هدایت بهینه مرتبه اول و دوم به ازای زمان نهایی مذکور در حالت بدون شتاب اشباع ناچیز است که البته میزان آن بستگی به مقادیر اولیه دارد. در ادامه نشان داده خواهد شد که به ازای $t_f/T = 6$ با اعمال شتاب اشباع، تفاوت فاصله خطای دو قانون هدایت بهینه مرتبه اول و دوم بطور قابل توجهی افزایش خواهد یافت.

هم اکنون، اثر شتاب اشباع در خطای نهایی اعمال و بررسی می شود که نتایج آن در شکل های ۱۱ تا ۱۴ ملاحظه می شود. با اعمال شتاب اشباع، همانطور که در شکل ۱۱ مشاهده می شود؛ اختلاف بین دو قانون هدایت بهینه مرتبه اول و مرتبه دوم به ازای $t_f/T = 6$ افزایش قابل توجهی می یابد. بطور مثال، مقدار خطای نهایی بی بعد به ازای ضریب وزنی ۰.۲ برای قانون هدایت ZLOG برابر با ۲، برای قانون هدایت FOOG برابر با ۰.۲ و برای قانون هدایت SOOG برابر با ۰/۰۰۴ است. با در نظر گرفتن مقدار ۰.۴ ثانیه برای ثابت زمانی و سرعت عمودی اولیه ۱۰ متر بر ثانیه، مقدار خطای نهایی این سه قانون به ترتیب برابر با ۱.۶ و ۰.۰۱۶ متر می شود.



شکل ۱۲ مقایسه خطای نهایی بی بعد با استفاده از فرم سوم بی بعدسازی ($h_0/a_{sat}T^2 = 2, v_0/a_{sat}T = 0.5, bT^4 = 0.05, n = 6$)

شکل ۱۲ مقایسه خطای نهایی بی بعد با استفاده از فرم سوم بی بعدسازی ($h_0/a_{sat}T^2 = 2, v_0/a_{sat}T = 0.5, bT^4 = 0.05, n = 6$)

و کاربردی باشد. عملکرد قانون هدایت استخراج شده در شبیه‌سازی عددی با قوانین هدایت خطدید بهینه مرتبه صفر و مرتبه اول، با بدون در نظر گرفتن محدودیت شتاب مقایسه شده است. لازم به ذکر است که به منظور مقایسه منصفانه بین سه قانون هدایت مذکور، سیستم کنترل وسیله پروازی در شبیه‌سازی، بصورت مرتبه سوم، چهارم و ششم در نظر گرفته شده است. نتایج شبیه‌سازی برای مدل جرم نقطه‌ای نشان می‌دهد که فاصله خطای نهایی به ازای هدایت خطدید بهینه مرتبه دوم، در محدوده‌های مشخصی نسبت به قانون هدایت مرتبه اول کاهش می‌یابد. بطور کلی، فاصله خطای قانون هدایت بهینه مرتبه دوم به ازای زمان‌های پرواز کوتاه به ویژه در وسایل پروازی با قابلیت مانوری زیاد، کمتر از دو قانون هدایت دیگر است. لازم به ذکر است که برای محاسبه دستور شتاب، تخمین شتاب جانبی و نرخ آن برای وسیله پروازی با فناوری موجود، از دقت بالایی برخوردار بوده و با فرکанс بالایی قبل نمونه‌برداری و فیلتراسیون است. البته ارزیابی دقیق قوانین هدایت مذکور، مستلزم انتخاب روش تخمین متغیرهای حالت و شدت حضور نویز و میزان عدم قطعیت در شبیه‌سازی پرواز شش درجه آزادی است.

6- فهرست علائم

شتاب وسیله	(ms^{-2})	<i>a</i>
پارامتر بی بعد کننده	(ms^{-2})	<i>A</i>
ضریب وزنی	(s^{-4})	<i>b</i>
فاصله از خطدید	(m)	<i>h</i>
نرخ شتاب	(ms^{-3})	<i>J</i>
متغیر حوزه لاپلاس	s	<i>s</i>
زمان	(s)	<i>t</i>
ثابت زمانی سیستم کنترل	(s)	<i>T</i>
دستور شتاب	(ms^{-2})	<i>u</i>
مولفه سرعت در جهت عمود بر خطدید	(ms^{-1})	<i>v</i>
بردار حالت		\vec{X}
علائم یونانی		
تابع هامیلتونی		\mathcal{H}
تبديل لاپلاس معکوس		\mathcal{L}^{-1}
بردار کمک حالت (بردار لاغرانژ)		$\vec{\lambda}$
تابع هزینه		\mathcal{J}
زمان بی بعد		τ
ماتریس انتقال حالت		Φ
زیرنویس‌ها		
نمایانگر مقدار اولیه	0	
نمایانگر مقدار نهایی	<i>f</i>	
نمایانگر مقدار اشباع	sat	

7- پیوست الف: محاسبه ماتریس انتقال حالت

ماتریس انتقال حالت ماتریس سیستم (11) با استفاده از رابطه (13) به دست می‌آید. برای محاسبه ماتریس انتقال حالت، ابتدا معادله مشخصه استخراج می‌شود:

$$|sI - A_p| = s^8 - 8s^6 + 16s^4 + 16\hat{b} = 0 \quad (32)$$

معادله مشخصه (32) با تغییر متغیر $s^2 = z$ تبدیل به معادله جبری مرتبه

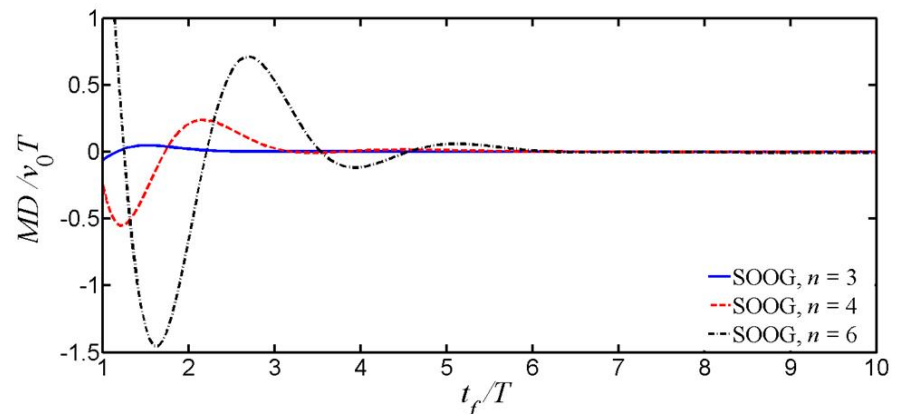


Fig. 15 Normalized miss distance under second-order optimal guidance using third-, fourth- & sixth-order control systems ($h_0/v_0 T = 10, bT^4 = 0.05$)

شکل 15 خطای نهایی بی بعد برای هدایت خطدید بهینه مرتبه دوم با اعمال بر سیستم کنترلی مرتبه 3، 4 و 6 ($h_0/v_0 T = 10, bT^4 = 0.05$)

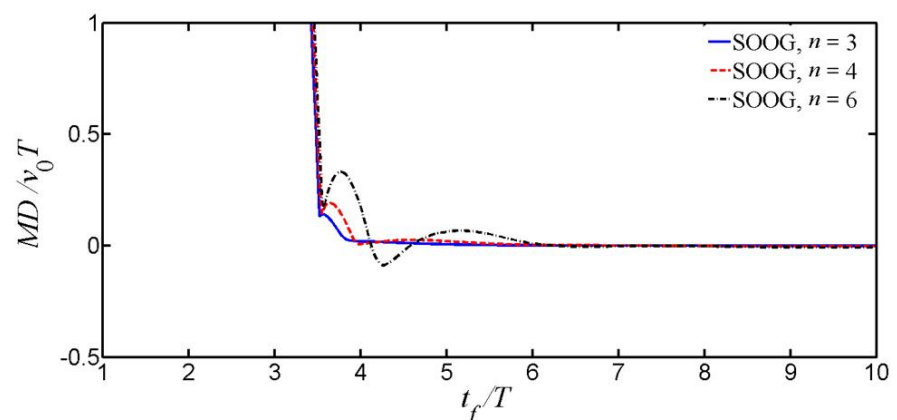


Fig. 16 Normalized miss distance under second-order optimal guidance with acceleration limit ($h_0/v_0 T = 10, bT^4 = 0.05, a_{sat} T/v_0 = 4, n = 3, 4, 6$)

شکل 16 خطای نهایی بی بعد برای هدایت خطدید بهینه مرتبه دوم با محدودیت شتاب ($h_0/v_0 T = 10, bT^4 = 0.05, a_{sat} T/v_0 = 4, n = 3, 4, 6$) در شکل 15 و 16 اثر افزایش مرتبه سیستم کنترل در خطای نهایی قانون هدایت خطدید بهینه مرتبه دوم به ترتیب بدون در نظر گرفتن محدودیت شتاب و با در نظر گرفتن شتاب اشباع بی بعد $a_{sat} T/v_0 = 4$ بررسی شده است. همانطور که از شکل 15 مشاهده می‌شود در زمان‌های نهایی کوچک با افزایش مرتبه سیستم کنترل از 3 تا 6 خطای قانون هدایت خطدید بهینه مرتبه دوم نیز افزایش می‌یابد. این موضوع با در نظر گرفتن شتاب اشباع نیز برقرار است. البته وقتی زمان نهایی بی بعد کمتر از حدود 3.5 باشد، به ازای مقادیر مفروض، مقادیر خطای نهایی به علت اشباع شتاب، مشابه یکدیگر می‌شود.

همانطور که ملاحظه شد، استفاده از هدایت بهینه مرتبه دوم می‌تواند در مجموع خطای نهایی را نسبت به هدایت بهینه مرتبه اول کاهش دهد. این میزان بهبود در خطای، در حالتی که زمان‌های نهایی کوچک است و خطای اولیه نسبتاً زیاد و قابلیت مانور وسیله پروازی بالا باشد؛ قابل توجه خواهد بود. بطور نمونه می‌توان به کاربرد ضدزره در مناطق شهری و پرتاب از سکوی متحرک بدون پایدارسازی نشانه روی اشاره نمود.

5- نتیجه‌گیری

در این مقاله، قانون هدایت خطدید بهینه برای سیستم کنترل مرتبه دوم به صورت حلقه‌بسته و بی بعد استخراج گردید. در مسئله هدایت بهینه مذکور، زمان نهایی و موقعیت نهایی مشخص و معین در نظر گرفته شده است. همچنین روابط با استفاده از سه فرم بی بعد شده و ضرایب قانون هدایت و نتایج شبیه‌سازی عددی به صورت بی بعد ارائه شده است. هر یک از این فرم‌های بی بعدسازی برای تحلیل عملکرد دسته‌ای از مسائل می‌تواند مناسب

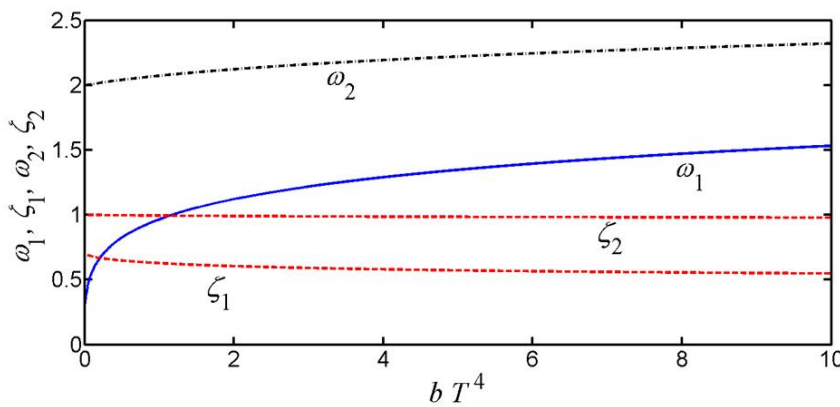


Fig. 17 The behavior of characteristic equation parameters vs normalized weighting factor

شکل 17 رفتار پارامترهای معادله مشخصه بر حسب ضریب وزنی بی بعد

$$\begin{aligned} C_4 \cdot C_{d_1} = & \omega_1^8 (k_1 + k_{2p}) M_1 - \zeta_1 \omega_1^5 k_3 M_2 \\ & + \omega_1^4 (\omega_1^2 k_4 + k_5) M_3 + 2\zeta_1 \omega_1^5 k_8 M_4 - \omega_1^4 (k_4 - 4\omega_1^2 k_6) M_5 \\ & - 4\zeta_1 \omega_1^5 k_7 M_6 - \omega_1^2 (k_1 + k_{3p}) M_7 + 2\zeta_1 \omega_1 (-16 + k_{4p}) M_8 \end{aligned} \quad (43)$$

$$\begin{aligned} C_5 \cdot C_{d_2} = & 2\zeta_2 \omega_2^7 (-16 + k_{5p}) M_1 + \omega_2^6 (k_1 + k_{6p}) M_2 \\ & - \zeta_2 \omega_2^3 k_3 M_3 + \omega_2^2 (\omega_2^2 k_4 - k_5) M_4 + 2\zeta_2 \omega_2^3 k_8 M_5 \\ & - \omega_2^2 (k_4 + 4\omega_2^2 k_6) M_6 - 4\zeta_2 \omega_2^3 k_7 M_7 - (k_1 + k_{7p}) M_8 \end{aligned} \quad (44)$$

$$\begin{aligned} C_6 \cdot C_{d_2} = & -\omega_2^8 (k_1 + k_{6p}) M_1 + \zeta_2 \omega_2^5 k_3 M_2 \\ & - \omega_2^4 (\omega_2^2 k_4 - k_5) M_3 - 2\zeta_2 \omega_2^5 k_8 M_4 + \omega_2^4 (k_4 + 4\omega_2^2 k_6) M_5 \\ & + 4\zeta_2 \omega_2^5 k_7 M_6 + \omega_2^2 (k_1 + k_{7p}) M_7 + 2\zeta_2 \omega_2 (-16 + k_{8p}) M_8 \end{aligned} \quad (45)$$

$$\begin{aligned} C_7 \cdot C_{d_2} = & 2\zeta_2 \omega_2^7 (-16 + k_{5p}) M_1 - \omega_2^6 (k_1 + k_{6p}) M_2 \\ & - \zeta_2 \omega_2^3 k_3 M_3 - \omega_2^2 (\omega_2^2 k_4 - k_5) M_4 + 2\zeta_2 \omega_2^3 k_8 M_5 \\ & + \omega_2^2 (k_4 + 4\omega_2^2 k_6) M_6 - 4\zeta_2 \omega_2^3 k_7 M_7 + (k_1 + k_{7p}) M_8 \end{aligned} \quad (46)$$

$$\begin{aligned} C_8 \cdot C_{d_2} = & \omega_2^8 (k_1 + k_{6p}) M_1 + \zeta_2 \omega_2^5 k_3 M_2 \\ & + \omega_2^4 (\omega_2^2 k_4 - k_5) M_3 - 2\zeta_2 \omega_2^5 k_8 M_4 - \omega_2^4 (k_4 + 4\omega_2^2 k_6) M_5 \\ & + 4\zeta_2 \omega_2^5 k_7 M_6 - \omega_2^2 (k_1 + k_{7p}) M_7 + 2\zeta_2 \omega_2 (-16 + k_{8p}) M_8 \end{aligned} \quad (47)$$

همچنین،

$$\begin{aligned} C_{d_1} = & 4\zeta_1 \omega_1^3 \{(\omega_1^2 - \omega_2^2)^4 + 8\omega_1^2 \omega_2^2 \times \\ & [(\omega_1^2 - \omega_2^2)^2 (\zeta_1^2 + \zeta_2^2 - 2\zeta_1^2 \zeta_2^2) + 2\omega_1^2 \omega_2^2 (\zeta_1^2 - \zeta_2^2)^2]\} \end{aligned} \quad (48)$$

$$\begin{aligned} C_{d_2} = & 4\zeta_2 \omega_2^3 \{(\omega_1^2 - \omega_2^2)^4 + 8\omega_1^2 \omega_2^2 \times \\ & [(\omega_1^2 - \omega_2^2)^2 (\zeta_1^2 + \zeta_2^2 - 2\zeta_1^2 \zeta_2^2) + 2\omega_1^2 \omega_2^2 (\zeta_1^2 - \zeta_2^2)^2]\} \end{aligned} \quad (49)$$

$$\begin{aligned} k_1 &= -16 - 2(\omega_1^4 + \omega_2^4 + \omega_1^2 \omega_2^2) \\ k_2 &= \omega_1^2 \zeta_2^2 + \zeta_1^2 \omega_2^2 \\ k_3 &= 4\omega_1^2 \omega_2^2 (\omega_1^2 - 2\omega_1^2 \zeta_2^2 - \omega_2^2 + 2\zeta_1^2 \omega_2^2) \\ k_4 &= (\omega_1^2 - \omega_2^2)^2 \\ k_5 &= 4\omega_1^2 \omega_2^2 (\omega_1^2 \zeta_2^2 - \zeta_1^2 \omega_2^2) \\ k_6 &= \zeta_1^2 \omega_1^2 - \zeta_2^2 \omega_2^2 \\ k_7 &= \omega_1^2 - 2\zeta_1^2 \omega_1^2 - \omega_2^2 + 2\zeta_2^2 \omega_2^2 \\ k_8 &= \omega_1^4 - \omega_2^4 \\ k_{1p} &= 2\omega_1^4 + 4\omega_2^4 (1 - 2\zeta_1^2)^2 \\ k_{2p} &= 4\omega_2^2 (k_2 + 2\zeta_1^2 \omega_2^2 (1 - 2\zeta_1^2)) \\ k_{3p} &= 4\omega_1^2 (-k_6 + 4\zeta_1^2 \omega_1^2 (1 - \zeta_1^2)) \\ k_{4p} &= 2\omega_2^4 + 4\omega_1^4 (1 - 2\zeta_1^2)^2 \\ k_{5p} &= 4\omega_1^2 (k_2 + 2\zeta_2^2 \omega_1^2 (1 - 2\zeta_2^2)) \\ k_{6p} &= 4\omega_2^2 (k_6 + 4\zeta_2^2 \omega_2^2 (1 - \zeta_2^2)) \\ k_{7p} &= k_6 + 2\zeta_2^2 \omega_2^2 (1 - 2\zeta_2^2) \end{aligned} \quad (50)$$

چهارم می شود که حل آن با استفاده از روابط مرجع [19] قابل استخراج است. معادله مشخصه (32) به ازای $\hat{b} > 0$ بصورت زیر قابل تفکیک است:

$$\begin{aligned} |sI - A_p| = & (s^2 + 2\zeta_1 \omega_1 s + \omega_1^2)(s^2 - 2\zeta_1 \omega_1 s + \omega_1^2) \\ & \times (s^2 + 2\zeta_2 \omega_2 s + \omega_2^2)(s^2 - 2\zeta_2 \omega_2 s + \omega_2^2) \end{aligned} \quad (33)$$

که در آن $(i = 1, 2)$

$$\omega_i = \sqrt[4]{2D(D + 2(-1)^i)} \quad (34)$$

$$\zeta_i = \sqrt{\frac{1}{2} \left(1 + \frac{2 + D(-1)^i}{\omega_i^2} \right)} \quad (35)$$

$$D = \frac{2}{\sqrt{3}} \sqrt{1 + \sqrt{4 + 3\hat{b}}} \cos \left(\frac{\hat{b} \sqrt{3(1 + \hat{b})}}{8 + 9\hat{b}} \right) \quad (36)$$

لازم به ذکر است که مقدار D با استفاده از رابطه (36) همیشه حقیقی و بزرگتر از 2 است (به ازای $\hat{b} > 0$). بنابراین با توجه به روابط (34) و (35) ζ_1 و ζ_2 همیشه مثبت و حقیقی است. همچنین با شرایط مفروض، مقدار ζ_1 و ζ_2 حقیقی و بین صفر و یک خواهد بود. رفتار پارامترهای مذکور بر حسب ضریب وزنی بی بعد در شکل 17 ترسیم شده است.

در ادامه، با حل تحلیلی ریشه های معادله مشخصه، ماتریس انتقال حالت محاسبه می شود. برای این منظور، ماتریس انتقال حالت در فضای لاپلاس بصورت رابطه (37) نوشته می شود:

$$\Phi(s) = \frac{M_1 s^7 + M_2 s^6 + M_3 s^5 + M_4 s^4 + M_5 s^3 + M_6 s^2 + M_7 s + M_8}{s^8 - 8s^6 + 16s^4 + 16\hat{b}} \quad (37)$$

که در آن،

$$\begin{cases} M_1 = I_{8 \times 8} \\ M_2 = A_p \\ M_3 = A_p^2 - 8M_1 \\ M_4 = A_p M_3 \\ M_5 = A_p M_4 + 16M_1 \\ M_6 = A_p M_5 \\ M_7 = A_p M_6 \\ M_8 = A_p M_7 \end{cases} \quad (38)$$

$$\begin{aligned} & M_1 s^7 + M_2 s^6 + M_3 s^5 + M_4 s^4 + M_5 s^3 + M_6 s^2 + M_7 s + M_8 \\ & = \frac{C_1 s + C_2}{s^2 + 2\zeta_1 \omega_1 s + \omega_1^2} + \frac{C_3 s + C_4}{s^2 - 2\zeta_1 \omega_1 s + \omega_1^2} \\ & + \frac{C_5 s + C_6}{s^2 + 2\zeta_2 \omega_2 s + \omega_2^2} + \frac{C_7 s + C_8}{s^2 - 2\zeta_2 \omega_2 s + \omega_2^2} \end{aligned} \quad (39)$$

که در آن،

$$\begin{aligned} C_1 \cdot C_{d_1} = & 2\zeta_1 \omega_1^7 (-16 + k_{1p}) M_1 + \omega_1^6 (k_1 + k_{2p}) M_2 \\ & + \zeta_1 \omega_1^3 k_3 M_3 + \omega_1^2 (\omega_1^2 k_4 + k_5) M_4 - 2\zeta_1 \omega_1^3 k_8 M_5 \\ & - \omega_1^2 (k_4 - 4\omega_1^2 k_6) M_6 + 4\zeta_1 \omega_1^3 k_7 M_7 - (k_1 + k_{3p}) M_8 \end{aligned} \quad (40)$$

$$\begin{aligned} C_2 \cdot C_{d_1} = & -\omega_1^8 (k_1 + k_{2p}) M_1 - \zeta_1 \omega_1^5 k_3 M_2 \\ & - \omega_1^4 (\omega_1^2 k_4 + k_5) M_3 + 2\zeta_1 \omega_1^5 k_8 M_4 + \omega_1^4 (k_4 - 4\omega_1^2 k_6) M_5 \\ & - 4\zeta_1 \omega_1^5 k_7 M_6 + \omega_1^2 (k_1 + k_{3p}) M_7 + 2\zeta_1 \omega_1 (-16 + k_{4p}) M_8 \end{aligned} \quad (41)$$

$$\begin{aligned} C_3 \cdot C_{d_1} = & 2\zeta_2 \omega_2^7 (-16 + k_{1p}) M_1 - \omega_2^6 (k_1 + k_{2p}) M_2 \\ & + \zeta_2 \omega_2^3 k_3 M_3 - \omega_2^2 (\omega_2^2 k_4 + k_5) M_4 - 2\zeta_2 \omega_2^3 k_8 M_5 \\ & + \omega_2^2 (k_4 - 4\omega_2^2 k_6) M_6 + 4\zeta_2 \omega_2^3 k_7 M_7 + (k_1 + k_{3p}) M_8 \end{aligned} \quad (42)$$

- [4] S. M. Malaek, and A. R. Kosari, Novel minimum time trajectory planning in terrain following flights, *IEEE Transactions on Aerospace and Electronic Systems*, Vol. 43, No. 1, pp. 2-12, 2007.
- [5] P. B. Sujit, and S. Saripalli, J. b. Sousa, Unmanned Aerial Vehicle Path Following, A Survey and Analysis of Algorithms for Fixed-Wing UAVs, *IEEE Control Systems Magazine*, Vol. 34, No. 1, pp. 42-59, 2014.
- [6] I. J. Ha, S. Chong, Design of a CLOS Guidance Law via Feedback Linearization, *IEEE Transactions on Aerospace and Electronic Systems*, Vol. 28, No. 1, pp. 51-63, 1992.
- [7] M. R. Arvan, B. Moshiri, Optimal Fuzzy Controller Design for an Anti-Tank Missile, *International Conference on Intelligent and Cognitive Systems*, Tehran, Iran, pp. 123-128, 1996 (in Persian).
- [8] C. M. Lin, C. F. Hsu, Y. J. Mon, Self-Organizing Fuzzy Learning CLOS Guidance Law Design, *IEEE Transactions on Aerospace and Electronic Systems*, Vol. 39, No. 4, pp. 1144-1151, 2003.
- [9] T. Soleymani, F. Saghafi, Fuzzy Trajectory Tracking Control of An Autonomous Air Vehicle, *The 2nd International Conference on Mechanical and Electronics Engineering (ICMEE)*, Kyoto, Japan, 2010.
- [10] L. Y. Yuan, S. Y. Li, Missile Guidance Law Design Using Nonlinear Robust Output Regulation and T-S Model, *The 2nd IEEE Conference on Industrial Electronics and Applications, ICIEA 2007*, Harbin, China 2007.
- [11] L. Fiorentini, A. Serrani, Adaptive Restricted Trajectory Tracking for a Non-Minimum Phase Hypersonic Vehicle Model, *Automatica*, Vol. 48, No. 7, pp. 1248-1261, 2012.
- [12] K. Yang, Path Following Control Performance Comparison for an Rotary Wing Unmanned Aerial Vehicle, *the 10th International Conference on Ubiquitous Robots and Ambient Intelligence (URAI)*, Ramada Plaza Jeju Hotel, Jeju, Korea, October 31-November 2, 2013.
- [13] S. H. Pourtakdoust, H. Nobahari, Line-of-Sight Guidance Law Optimization for Ground-to-Air Missiles, *the First Conference of Aerospace industries Organization*, Tehran, Iran, 2000, (in Persian).
- [14] A. Ratnoo, P. B. Sujit, M. Kothari, Adaptive Optimal Path Following for High Wind Flights, *18th International Federation of Automatic Control (IFAC) World Congress*, Milan, Italy, pp. 12,985-12,990, Aug. 28-Sept. 2, 2011.
- [15] J. Guo, et al., Design of Automatic Steering Controller for Trajectory Tracking of Unmanned Vehicles Using Genetic Algorithms, *IEEE Transactions on Vehicular Technology*, Vol. 61, No. 7, pp. 2913-2924, 2012.
- [16] H. Nobahari, S. H. Pourtakdoust, An Optimal Fuzzy Two-Phase CLOS Guidance Law Design Using Ant Colony Optimization, *The Aeronautical Journal*, Vol. 111, No. 4, pp. 621-636, 2007.
- [17] I. Rusnak, L. Meir, Modern Guidance Law for High-Order Autopilot, *Journal of Guidance, Control, and Dynamics*, Vol. 14, No. 5, pp. 1056-1058, 1991.
- [18] S. H. Jalali-Naini, S. H. Sajjadi, First-Order Optimal Line-of-Sight Guidance for Stationary Targets, *Scientia Iranica Transaction B*, (in Press)(Darft is available on Scientia Website).
- [19] M. R. Spiegel, S. Lipschutz, J. Liu, *Mathematical Handbook of Formulas and Tables*, Schaum's Outline Series, 3rd edition, NY, McGraw-Hill, 2009.

$$k_{8p} = 2\omega_1^4 + 4\omega_2^4(1 - 2\zeta_2^2)^2 \quad (51)$$

با استفاده از روابط تبدیل معکوس لاپلاس می‌توان نوشت:

$$\begin{aligned} \Phi_1(t) &= \mathcal{L}^{-1} \left\{ \frac{C_1 s + C_2}{s^2 + 2\zeta_1 \omega_1 s + \omega_1^2} \right\} \\ &= e^{-\zeta_1 \omega_1 t} \left(C_1 \cos(\omega_{d_1} t) + \frac{(C_2 - C_1 \zeta_1 \omega_1) \sin(\omega_{d_1} t)}{\omega_{d_1}} \right) \end{aligned} \quad (52)$$

$$\begin{aligned} \Phi_2(t) &= \mathcal{L}^{-1} \left\{ \frac{C_3 s + C_4}{s^2 - 2\zeta_1 \omega_1 s + \omega_1^2} \right\} \\ &= e^{\zeta_1 \omega_1 t} \left(C_3 \cos(\omega_{d_1} t) + \frac{(C_4 + C_3 \zeta_1 \omega_1) \sin(\omega_{d_1} t)}{\omega_{d_1}} \right) \end{aligned} \quad (53)$$

$$\begin{aligned} \Phi_3(t) &= \mathcal{L}^{-1} \left\{ \frac{C_5 s + C_6}{s^2 + 2\zeta_2 \omega_2 s + \omega_2^2} \right\} \\ &= e^{-\zeta_2 \omega_2 t} \left(C_5 \cos(\omega_{d_2} t) + \frac{(C_6 - C_5 \zeta_2 \omega_2) \sin(\omega_{d_2} t)}{\omega_{d_2}} \right) \end{aligned} \quad (54)$$

$$\begin{aligned} \Phi_4(t) &= \mathcal{L}^{-1} \left\{ \frac{C_7 s + C_8}{s^2 - 2\zeta_2 \omega_2 s + \omega_2^2} \right\} \\ &= e^{\zeta_2 \omega_2 t} \left(C_7 \cos(\omega_{d_2} t) + \frac{(C_8 + C_7 \zeta_2 \omega_2) \sin(\omega_{d_2} t)}{\omega_{d_2}} \right) \end{aligned} \quad (55)$$

که در آن،

$$\omega_{d_i} = \omega_i \sqrt{1 - \zeta_i^2}, \quad i = 1, 2 \quad (56)$$

در نتیجه، ماتریس انتقال حالت به صورت زیر حاصل می‌شود:

$$\Phi(t) = \Phi_1(t) + \Phi_2(t) + \Phi_3(t) + \Phi_4(t) \quad (57)$$

8- مراجع

- [1] N. A. Shneydor, *Missile Guidance and Pursuit: Kinematics, Dynamics and Control*, Chichester, England , pp. 11-14, Horwood Publishing, 1998.
- [2] P. Zarchan, *Tactical and Strategic Missile Guidance*, Progress in Astronautics and Aeronautics, Vol. 239, 6th Ed., AIAA, 2012.
- [3] G. T. Lee, and J. G. Lee, Improved Command to Line-of-Sight for Homing Guidance, *IEEE Transactions on Aerospace and Electronic Systems*, Vol. 31, No. 1, pp. 506-510, 1995.